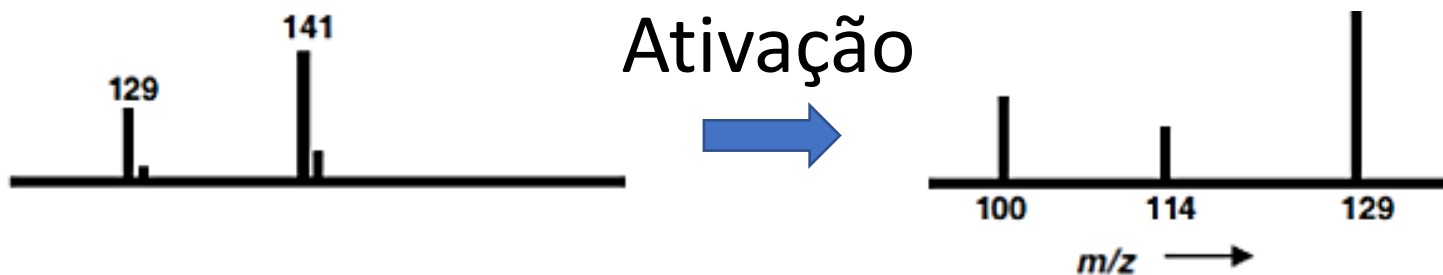


Universidade de São Paulo  
**Instituto de Química**

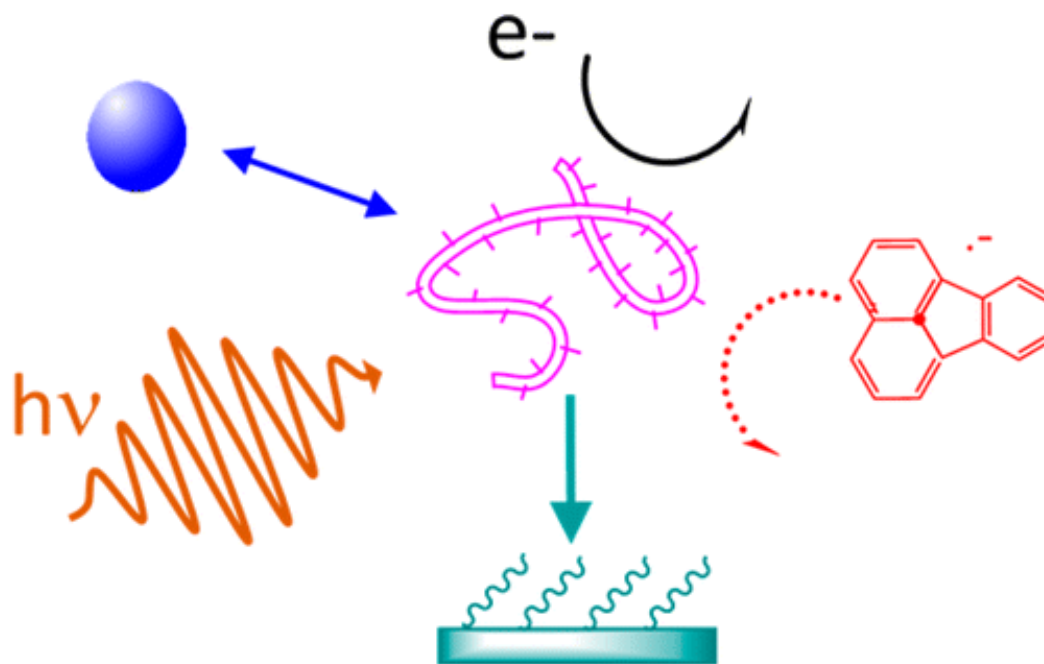
Prof. Dr. Thiago C. Correra

**Métodos espectroscópicos  
acoplados à MS – Espectroscopia IRMPD**

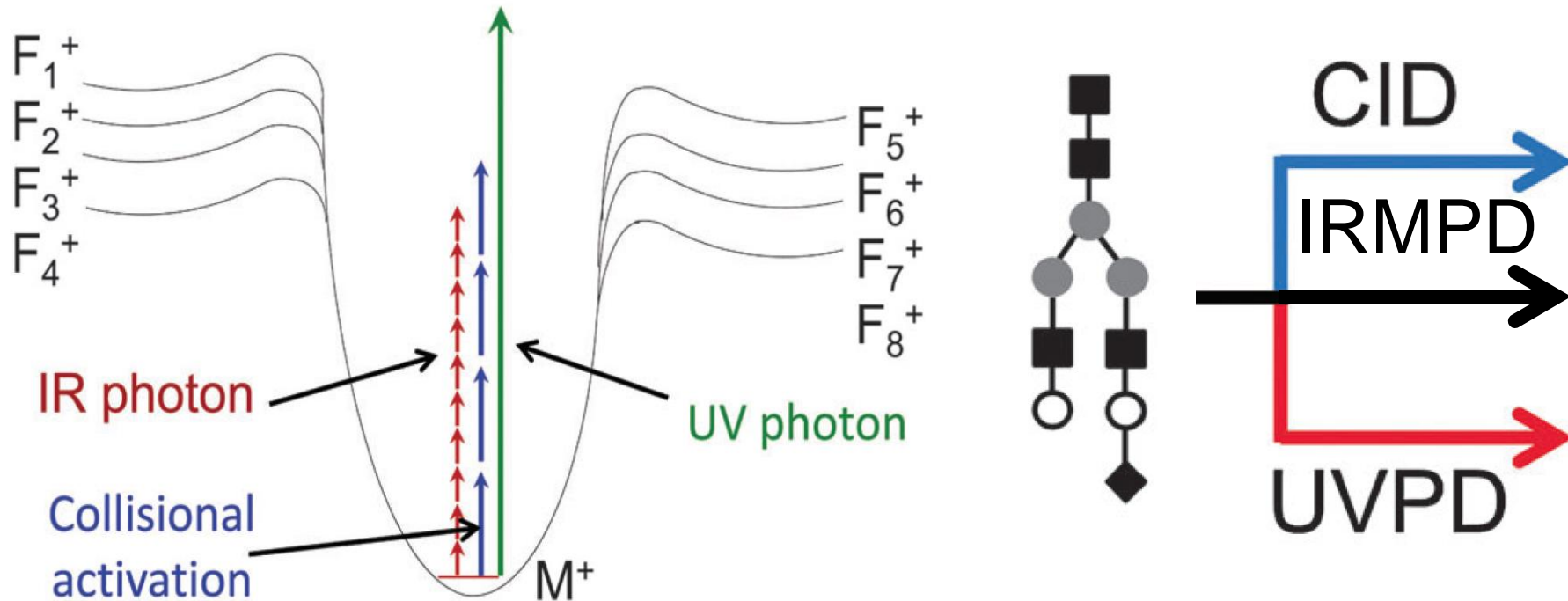
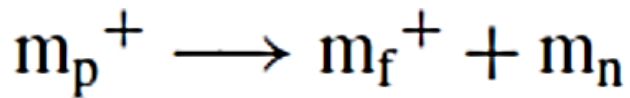
# Métodos de ativação de isômeros



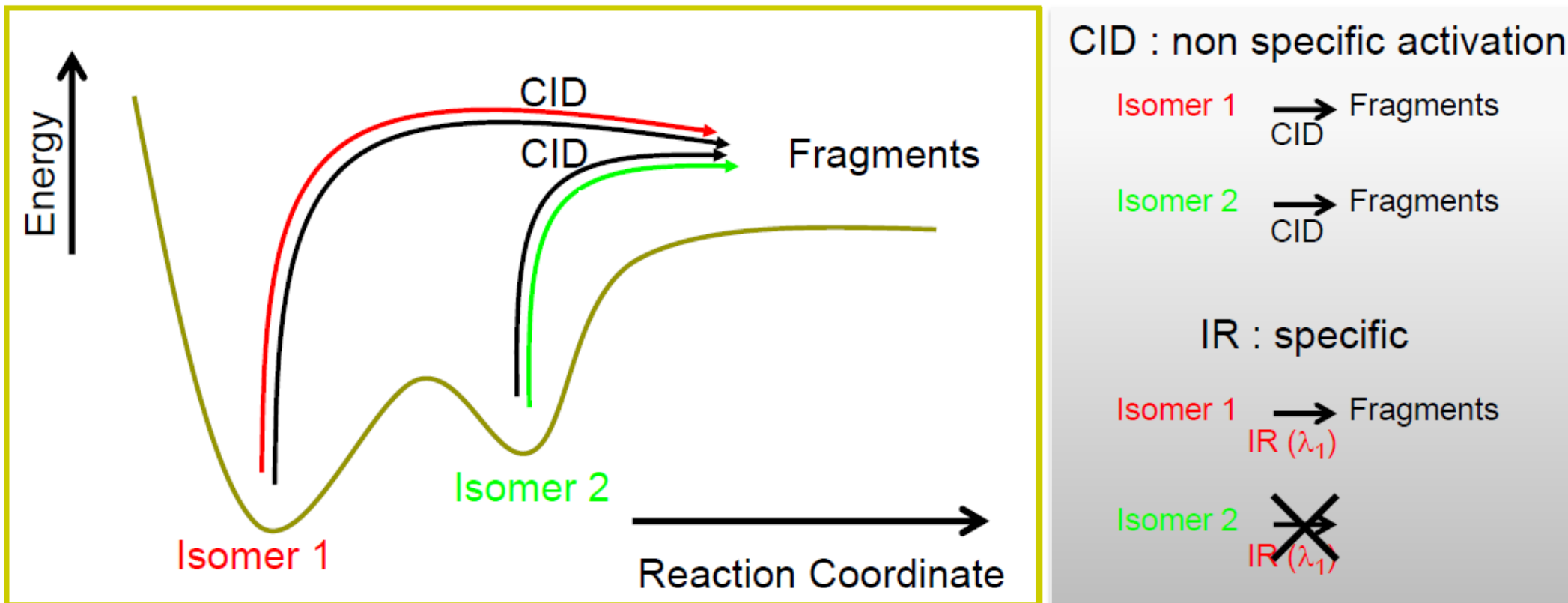
- Induzida por colisão
- Induzida por superfície
- Induzida por elétrons
- ...
- Fotoinduzida



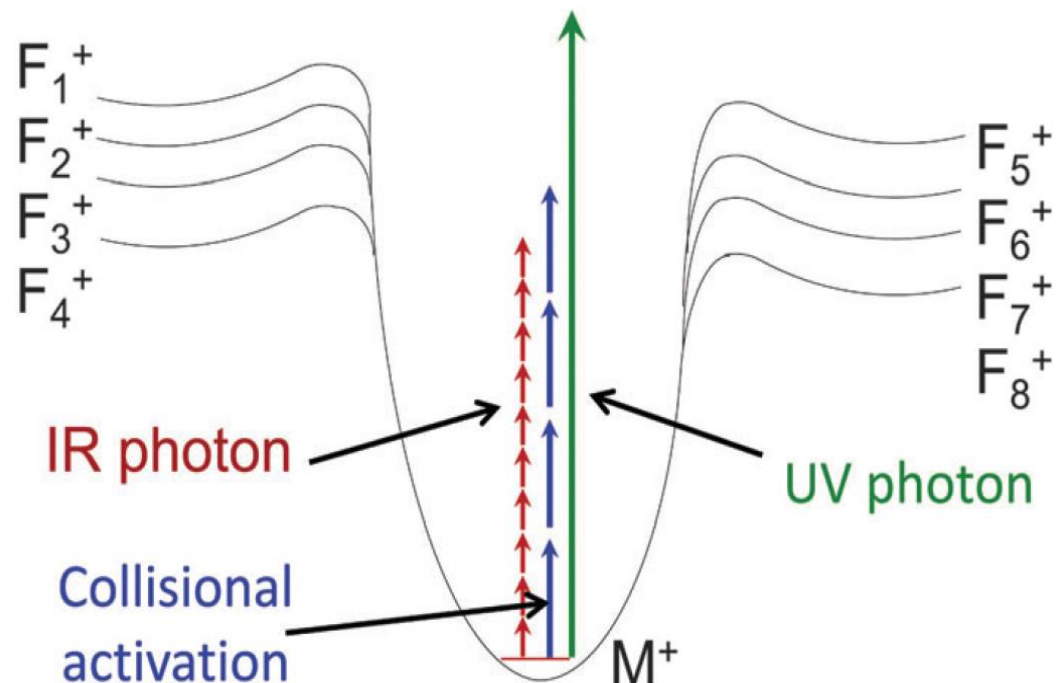
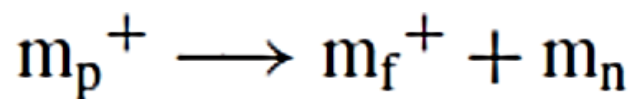
# CID, UVPD and IRMPD



- Need for structural information in MS/MS
  - Fragmentation mass Spectra, especially EI
  - Infrared Spectroscopy could be useful
- IR spectroscopy integrated to MS
  - It relies on SPECIFIC fragmentation of an **ion isomer** based on SPECIFIC activation



# Espectroscopia de íons



Avaliação da taxa de dissociação em função do comprimento de onda do fóton gera uma medida indireta da absorção dos fótons

Faixas espectrais (e fontes de radiação) diferentes podem ser utilizadas, com mecanismos diferentes:

- IR, UV, UV de vácuo

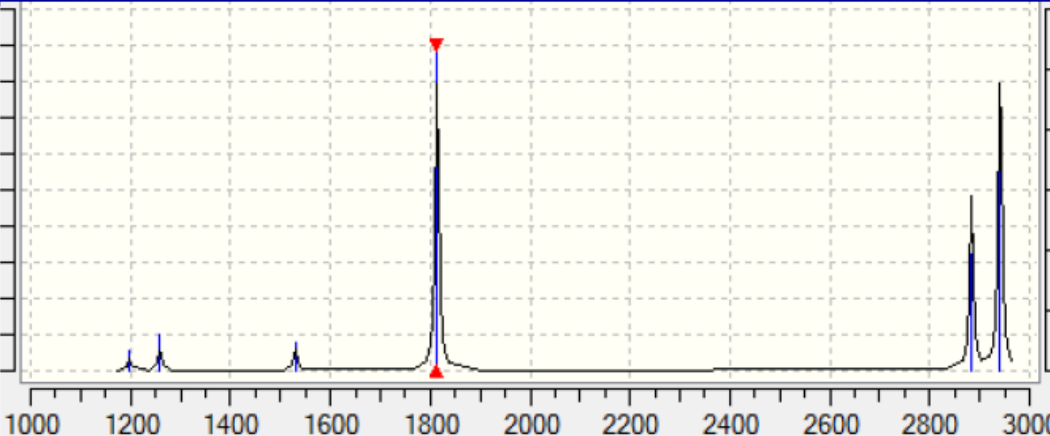
Em técnicas diversas:

- Dupla ressonância (IR-IR), FRET, fótons em faixas espectrais diferentes (UV-IR, UV-IR<sup>2</sup>)

Fontes diversas:

- OPO/OPA, FEL, Sincrotron (sobretudo para PEPICO)

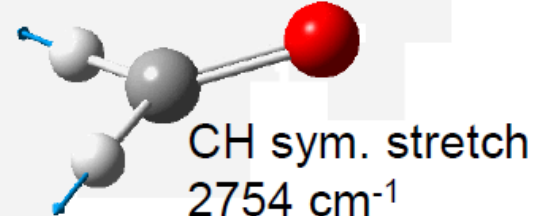
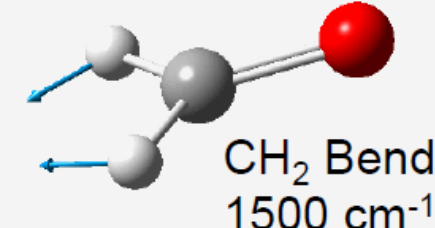
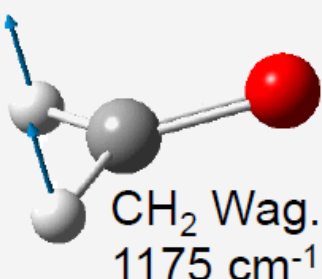
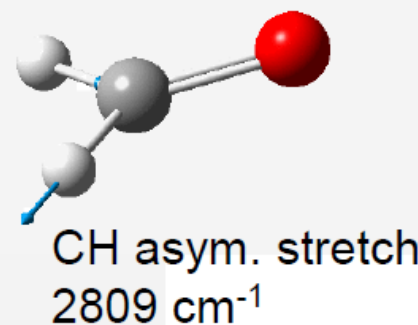
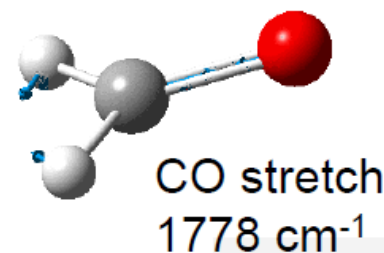
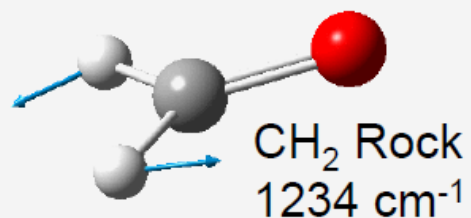
# Absorção no IR

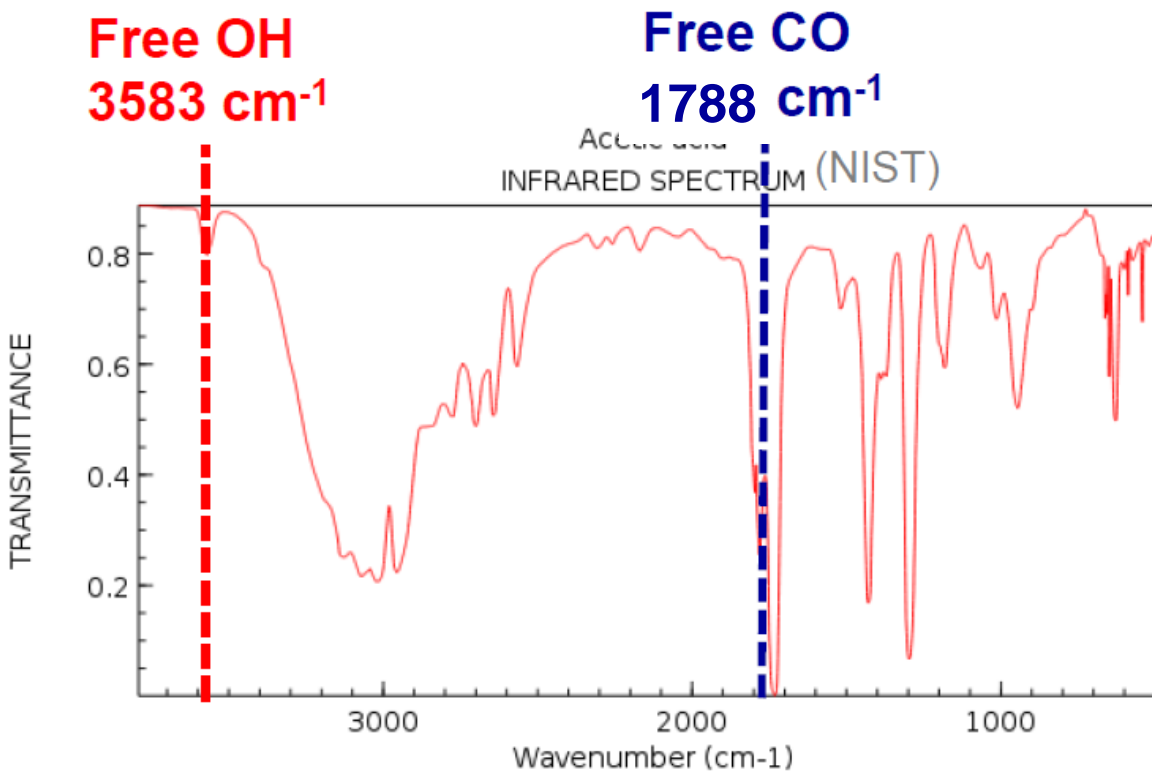
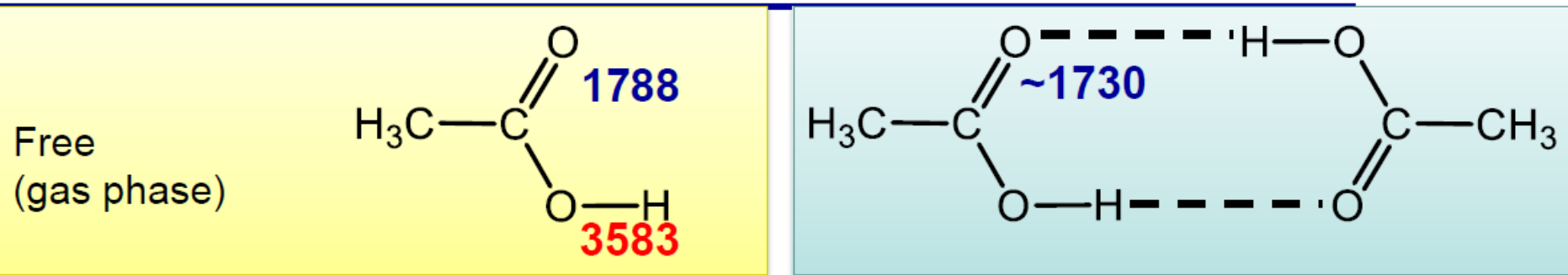


Units used:

$$\begin{aligned}E &= h \nu \\&= h * C * 1/\lambda \\&= h * C * \frac{1}{\nu}\end{aligned}$$

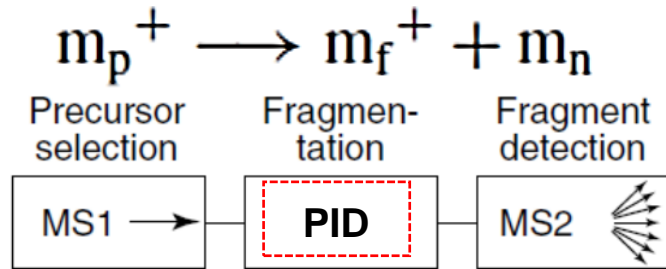
where  $\lambda$  is the wavelength ( $\mu\text{m}$ )  
and  $\nu$  is the wavenumber per cm



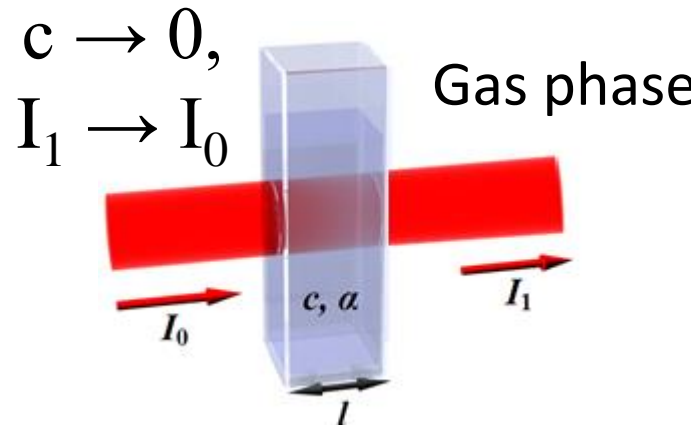
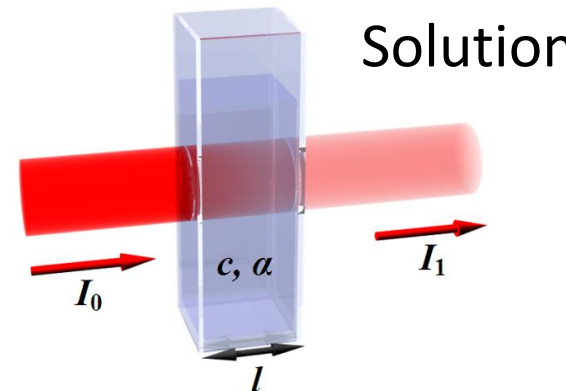
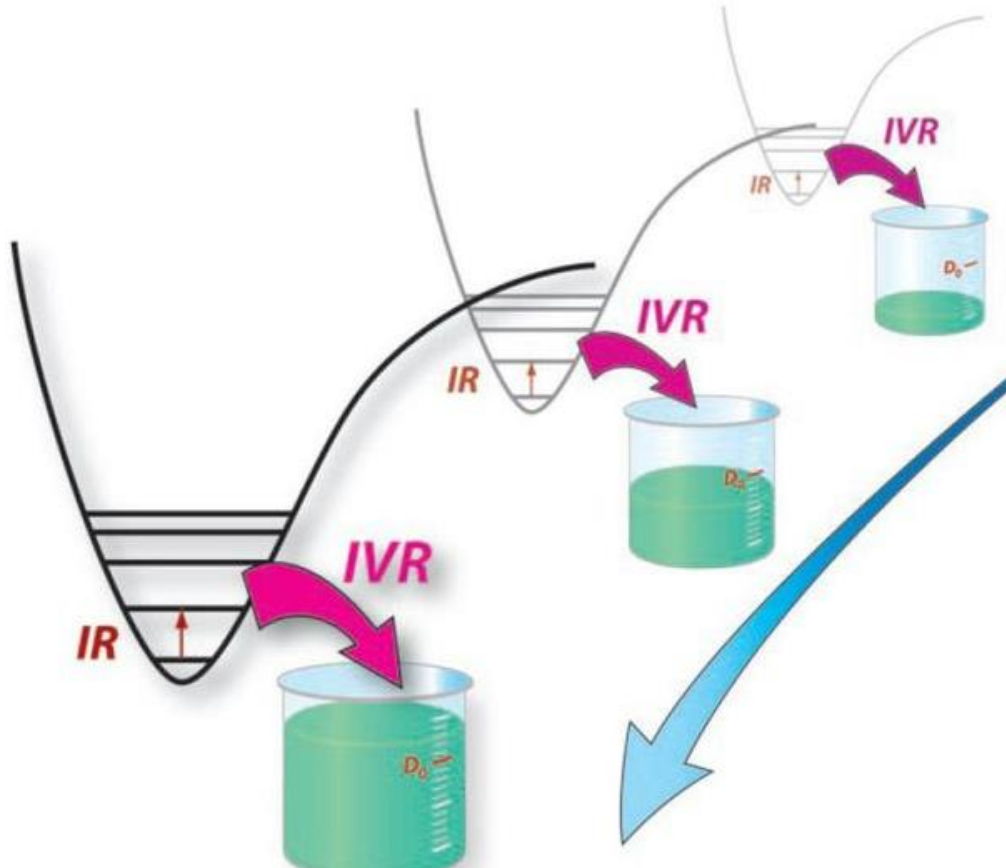


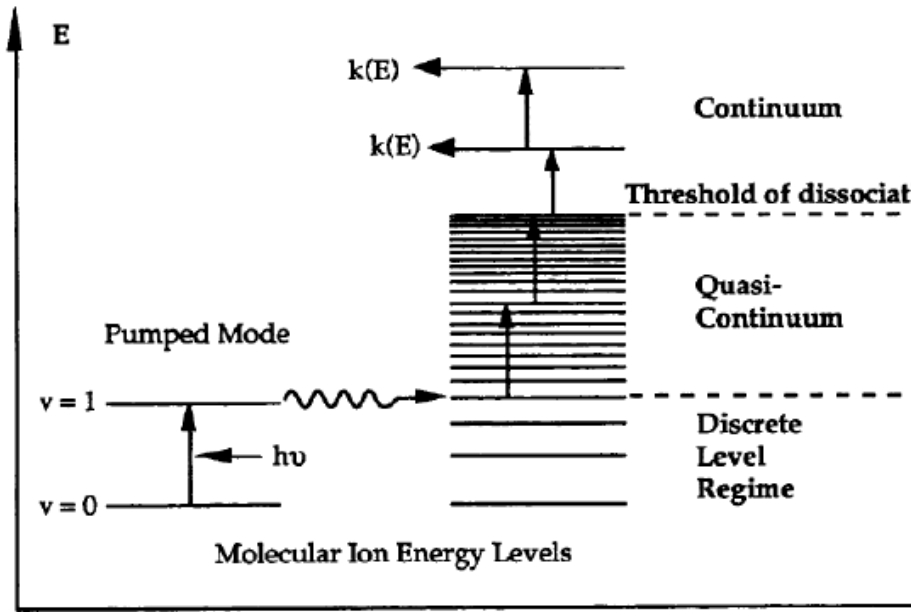
Upon formation of hydrogen bonds, red-shifts (i.e. bond weakening) are observed.

# Infrared Multiple photon Dissociation (IRMPD)



No measurable absorption in the gas phase!





**Riveros, J.M.** Infrared photodissociation.  
Encyclopedia of mass spectrometry, Vol. 1.  
Amsterdam: Elsevier. 2003 pp. 262–271.

Using (relatively) low-intense IR lasers, only  
the lowest-energy fragmentation pathway is  
observed

		$\Delta H/\text{kJ mol}^{-1}$	
$\text{Co(C}_5\text{H}_{10}\text{)}^+$	$\longrightarrow$	$\sim 50$	(4a)
	$\longrightarrow$	$\sim 13$	(4b)
	$\longrightarrow$	$\sim 117$	(4c)
	$\longrightarrow$	$\sim 134$	(4d)

Hanratty, M. A.; Paulsen, C. M.; Beauchamp, J. L. Multiphoton infrared laser activation of organometallic species: A novel probe of the potential energy surfaces for reactions of cobalt ions with  $\text{C}_5\text{H}_{10}$  isomers. *J. Am. Chem. Soc.* **1985**, *107*, 5074–5080.



<https://www.youtube.com/watch?v=IFWXjzhH8a0>

# Early IRMPD spectroscopy studies

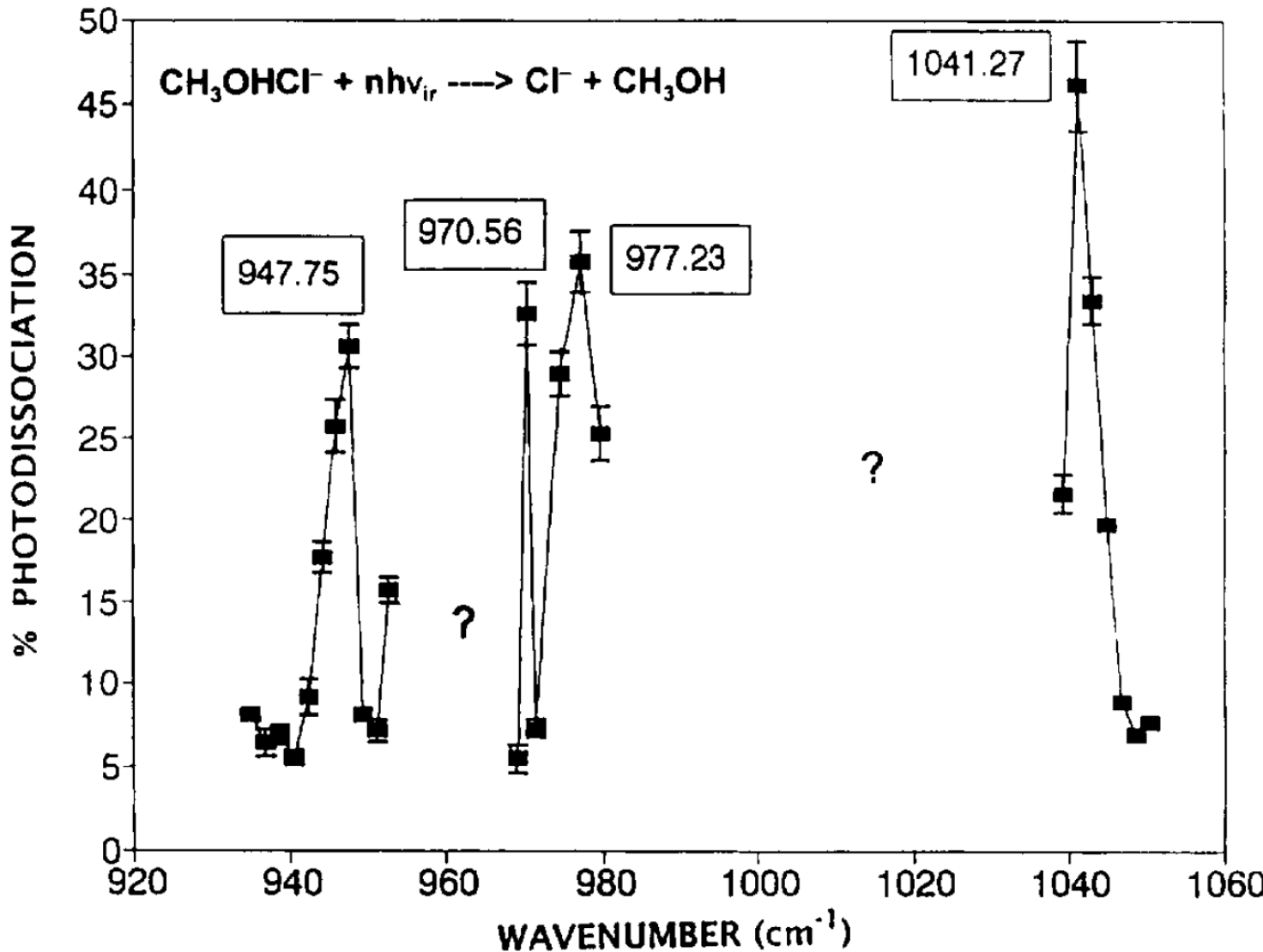
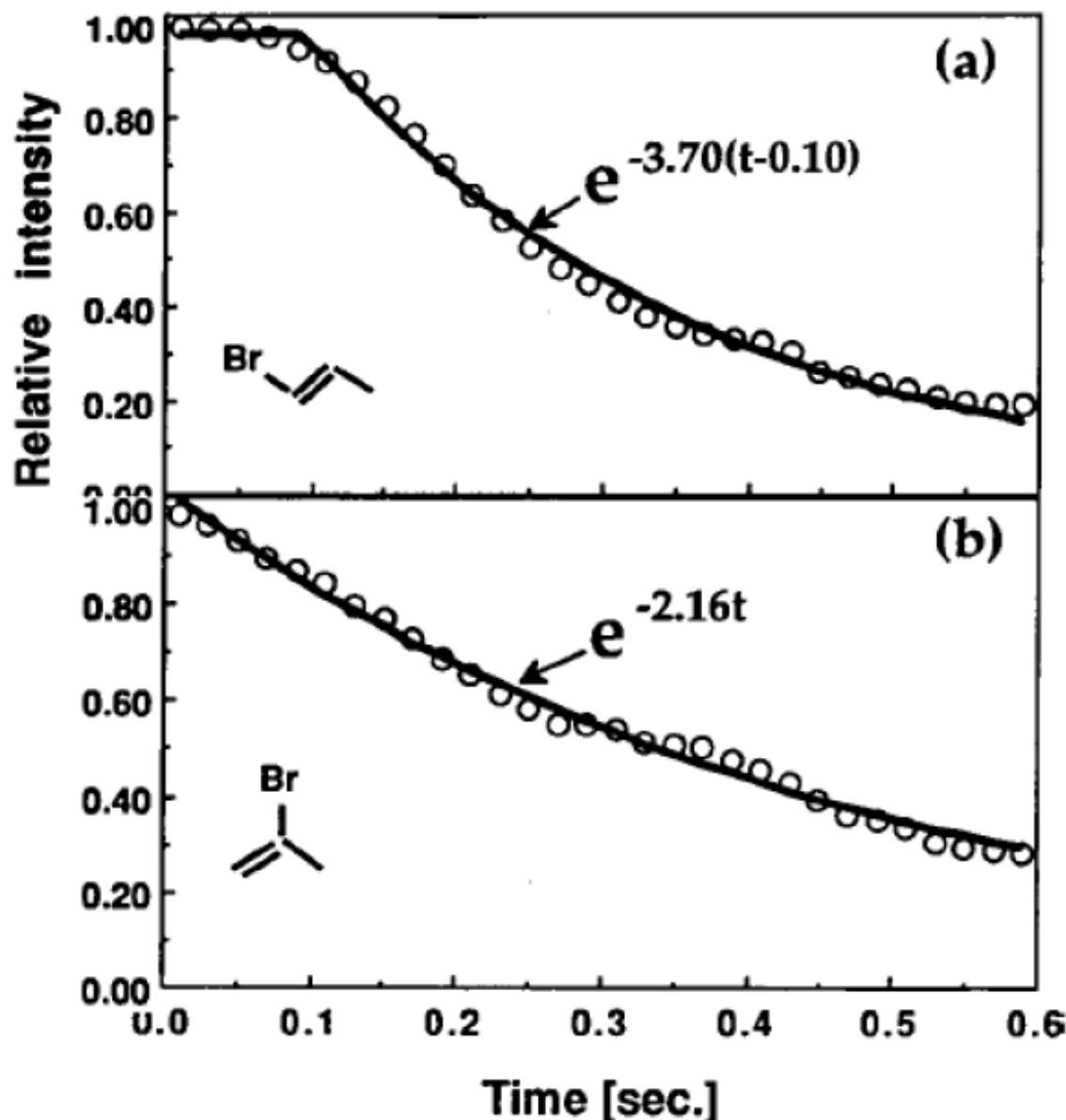


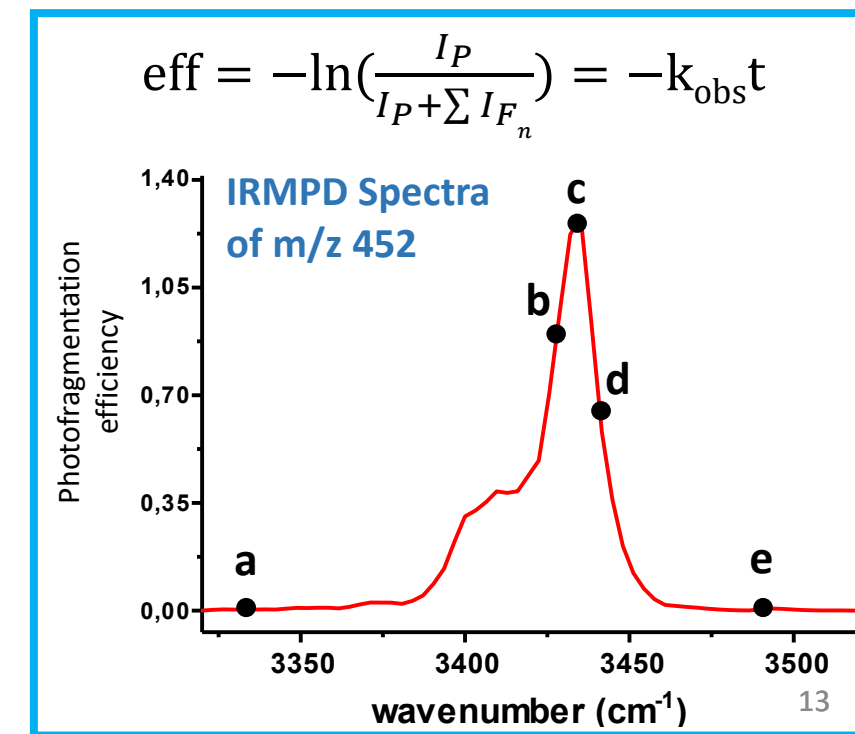
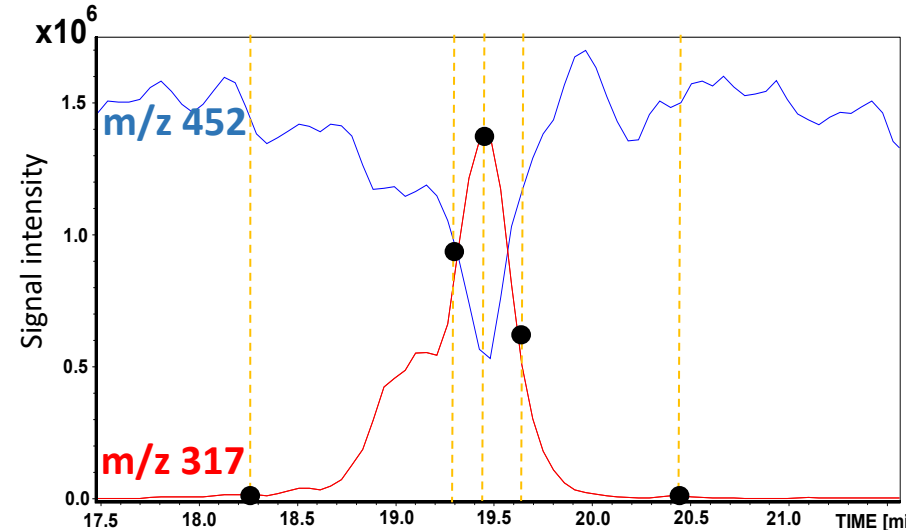
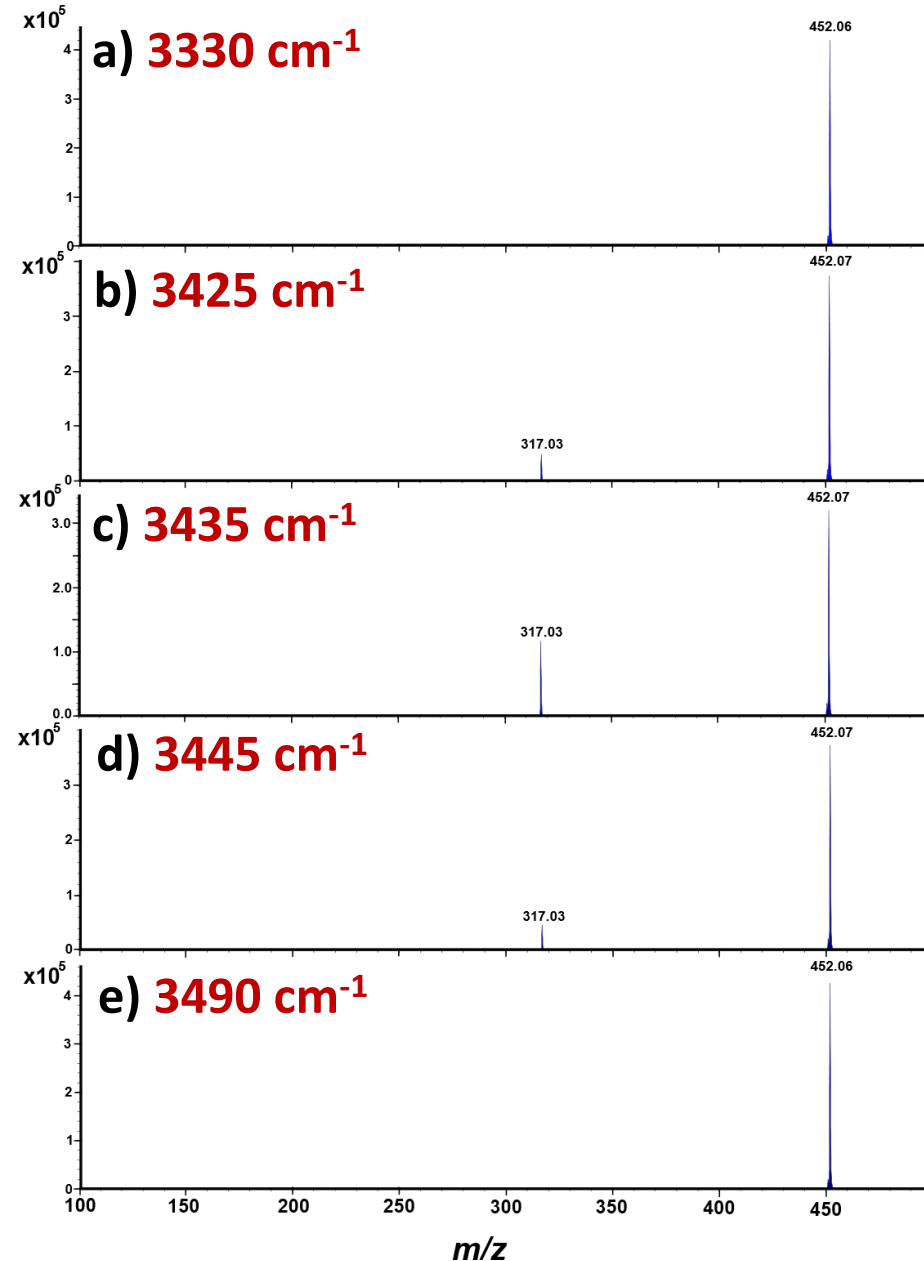
Fig. 4. IRMPD spectrum of methanol solvated chloride ion ( $\text{CH}_3\text{OHCl}^-$ ).



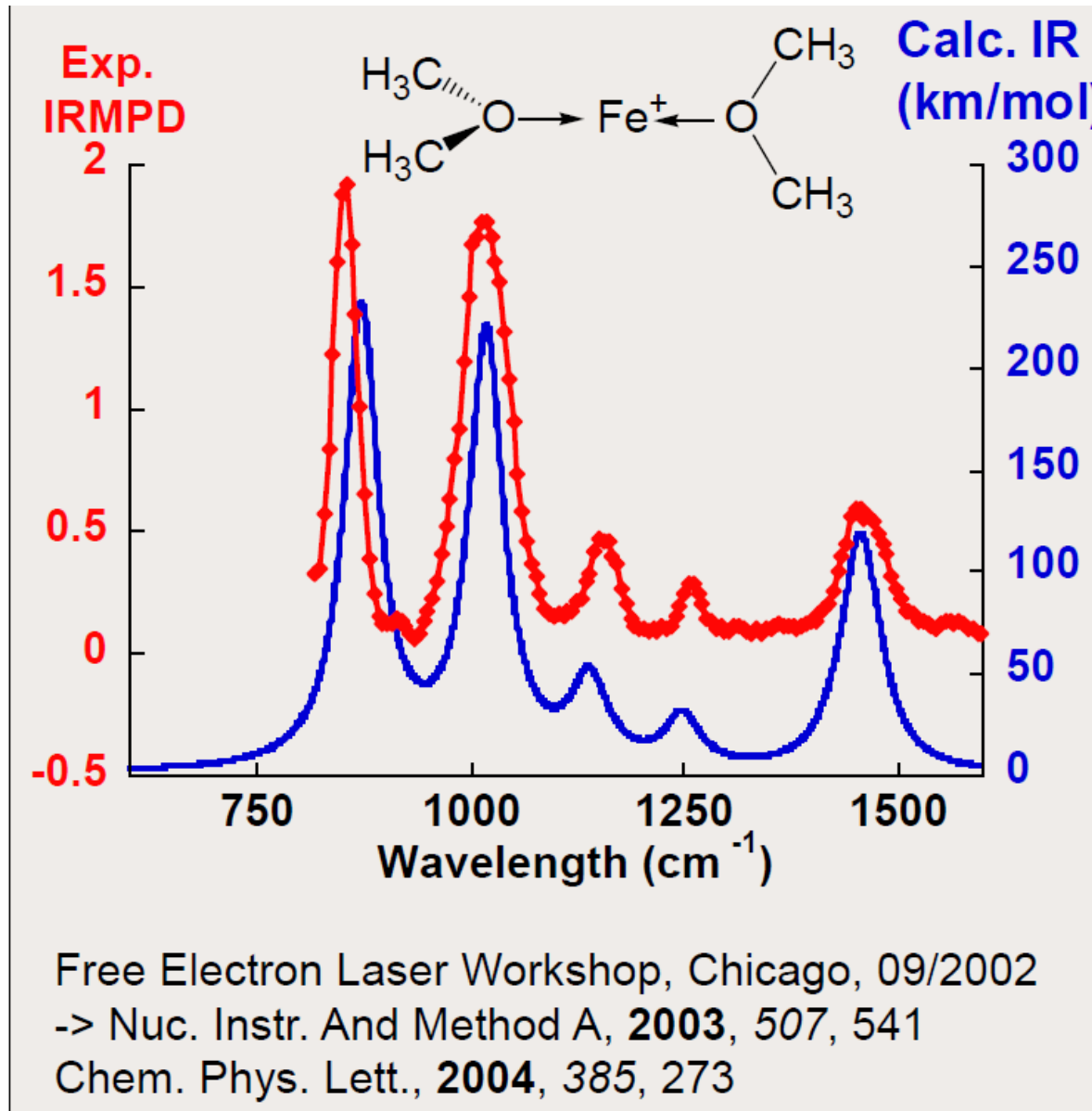
Gaumann, T.; Zhu, Z.; Kida, M. C.;  
**Riveros, J. M.** Kinetic and Spectroscopic  
Characterization of the Allyl Bromide  
Molecular Ion. *J. Am. Soc. Mass Spectrom.*  
**1991, 2, 372-378.**

Using using an 8 Watt CO<sub>2</sub> laser the  
IRMPD kinetics of the molecular ion  
obtained from 1- and 2-bromopropene are  
clearly different

# Espectroscopia de íons - IRMPD

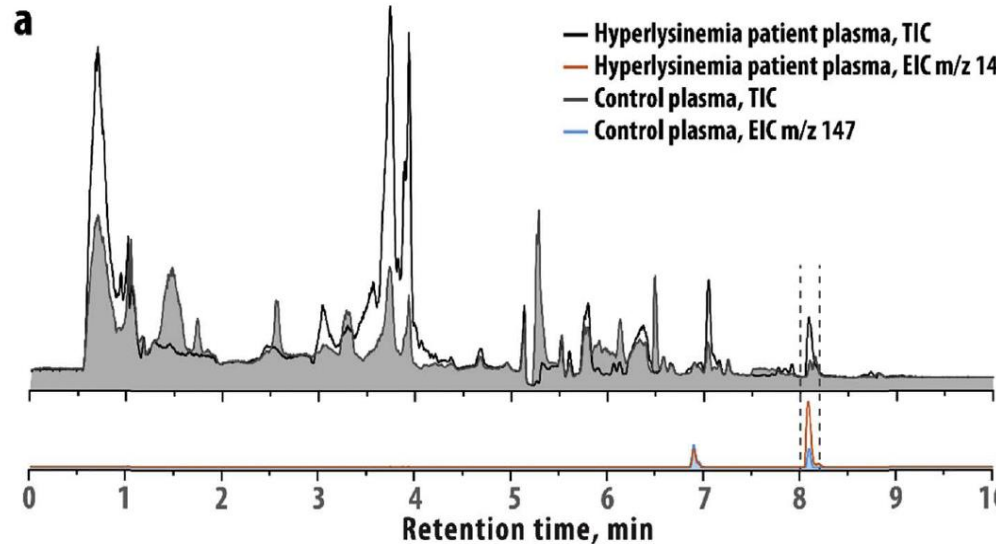


# Espectroscopia de íons - IRMPD

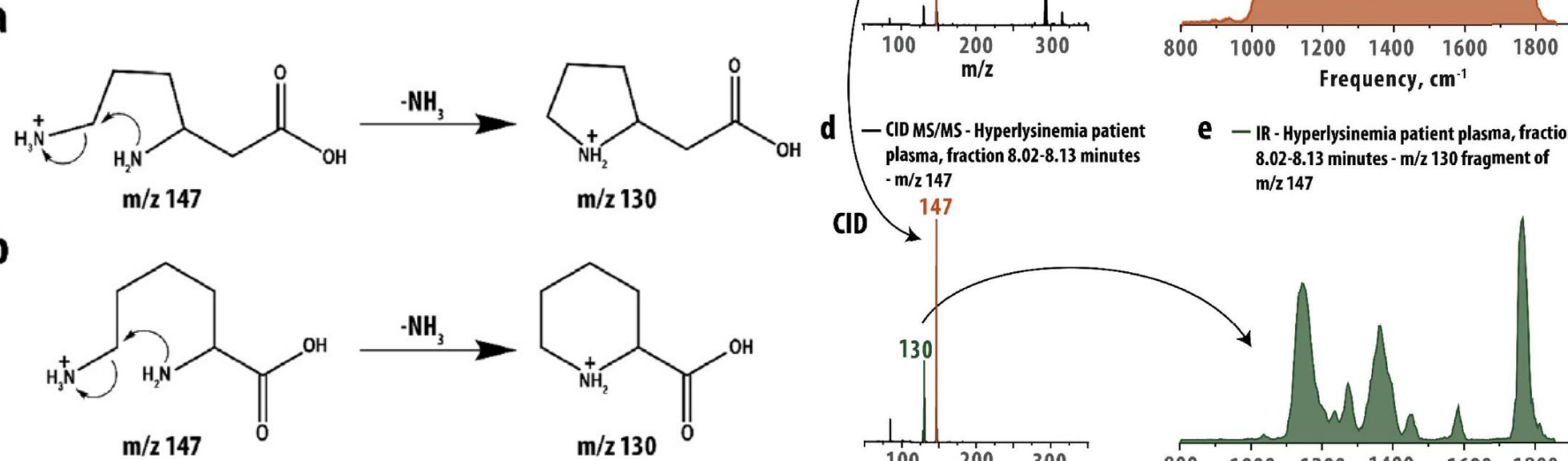
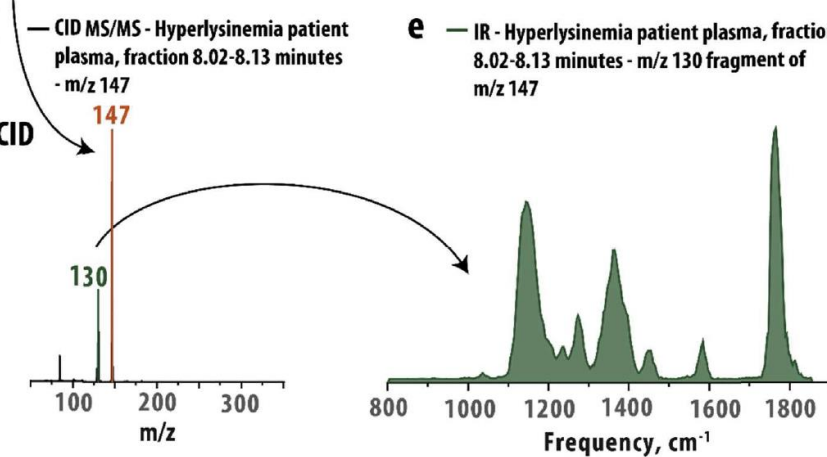
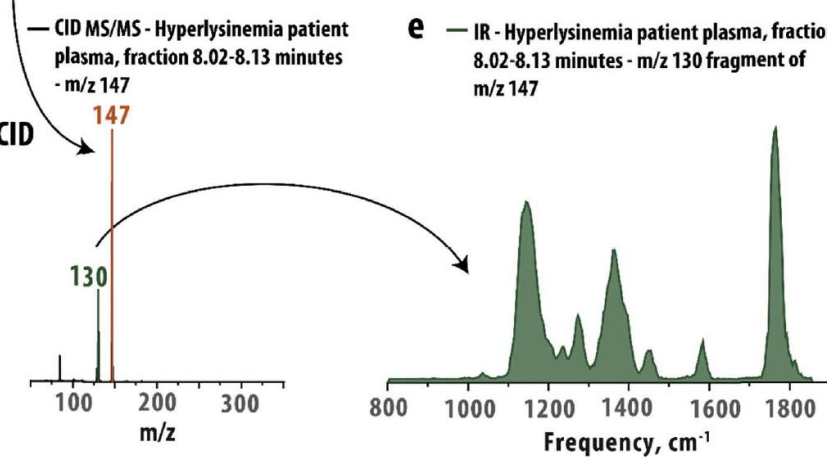
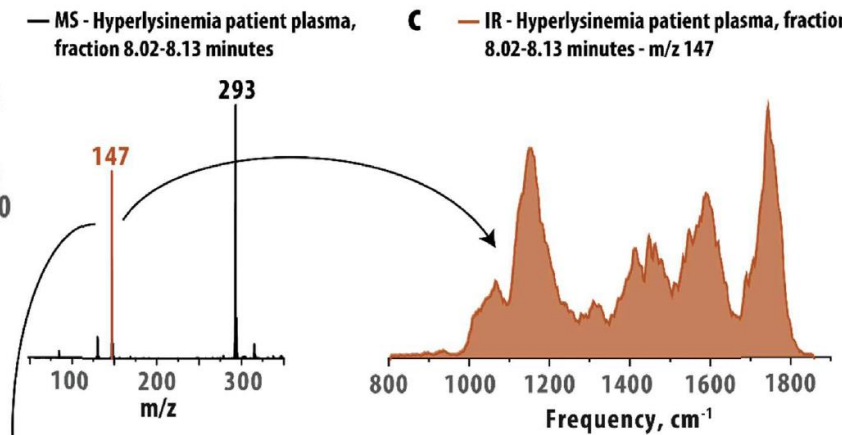


IRMPD permite comparação direta com cálculos de estrutura eletrônica

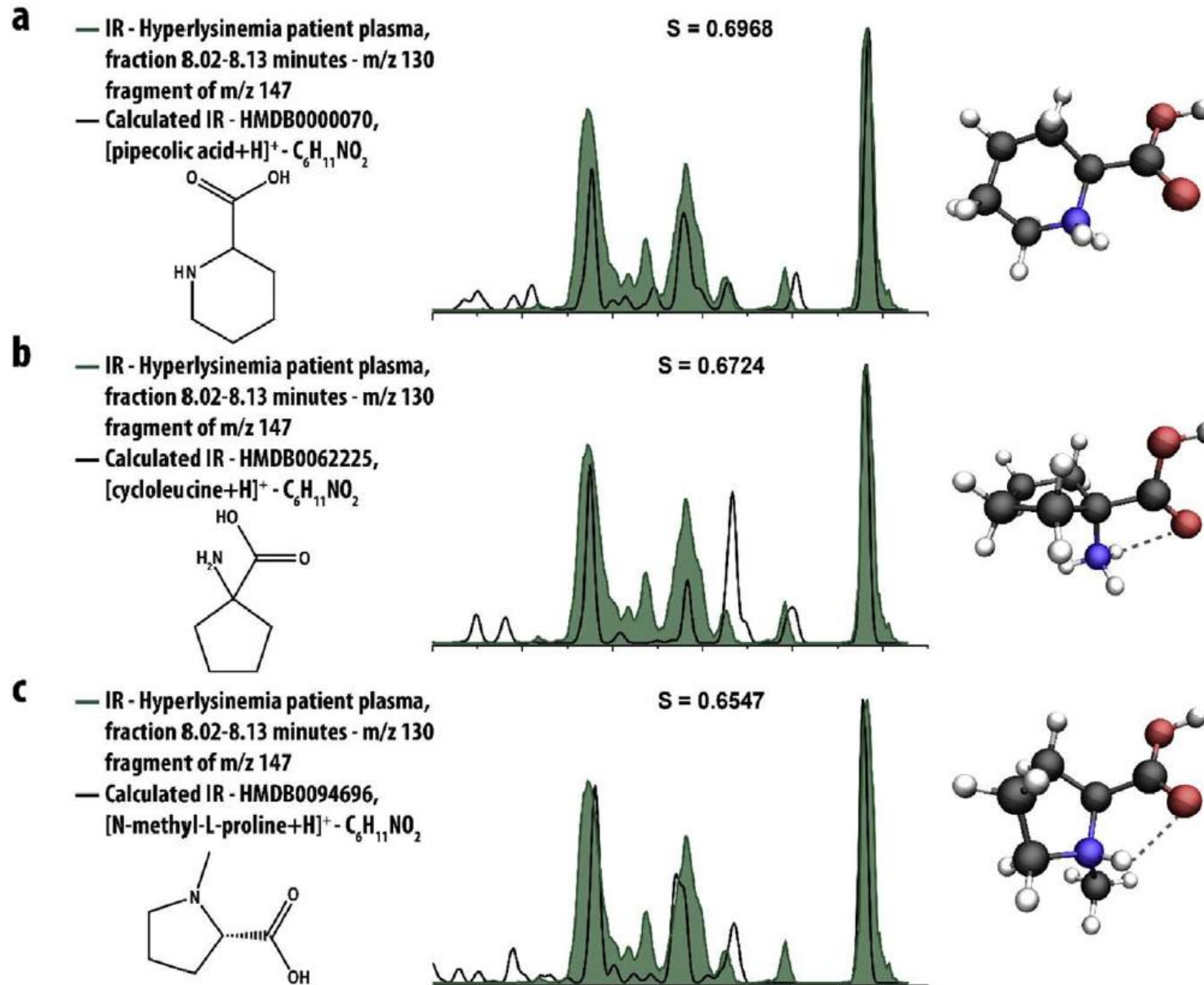
# Reference-standard metabolite identification



## Lysine metabolism disorder



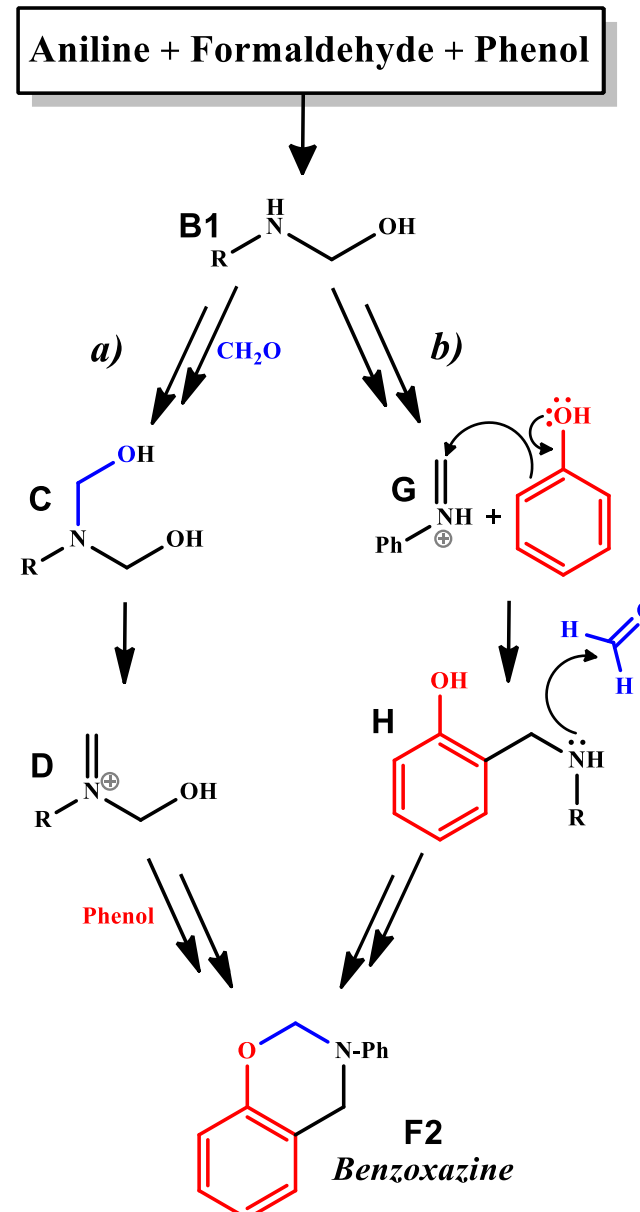
# Reference-standard metabolite identification



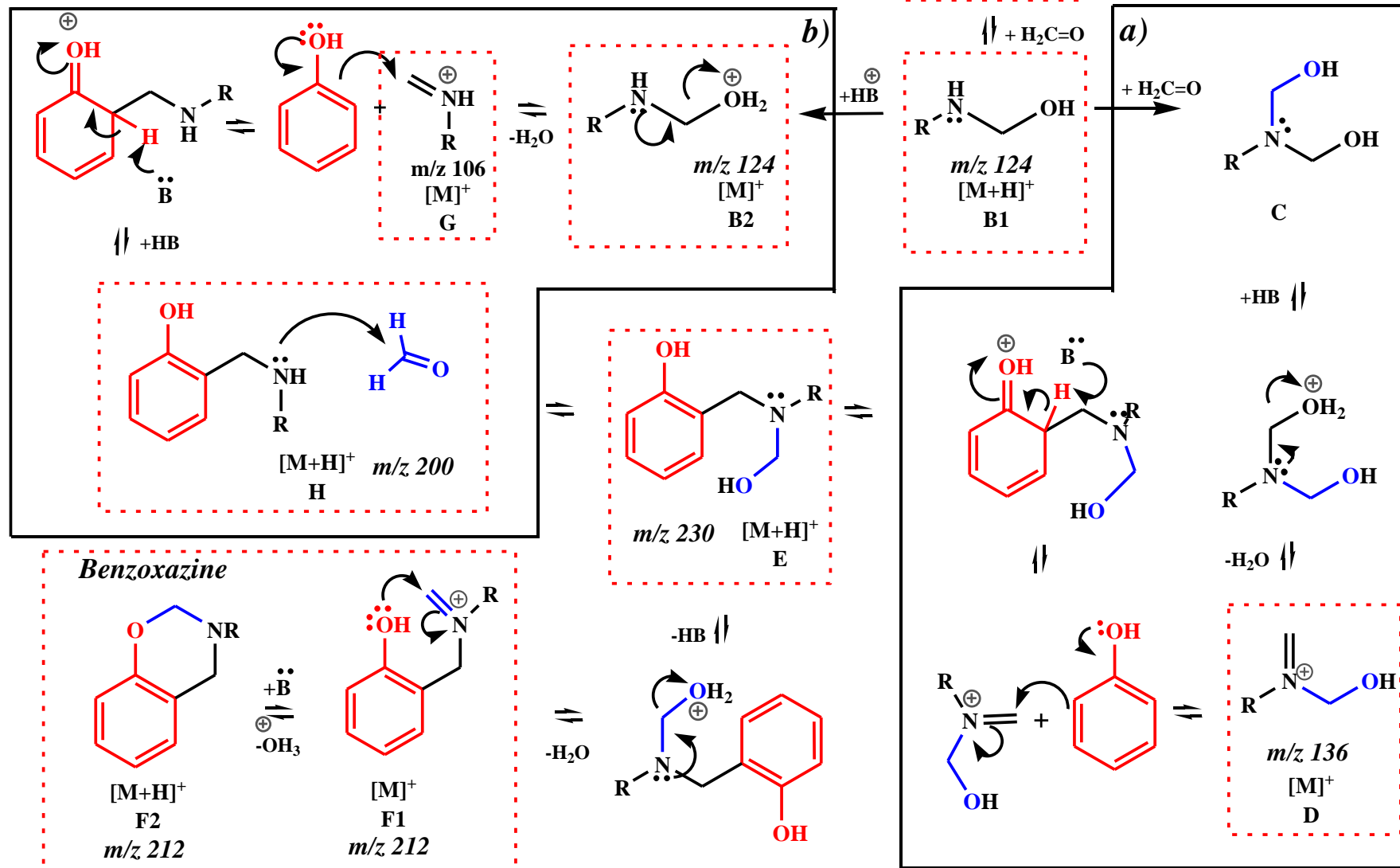
# Estudo de mecanismos de reação



**Podemos avaliar mecanismos de reação por ESI-IRMPD?**

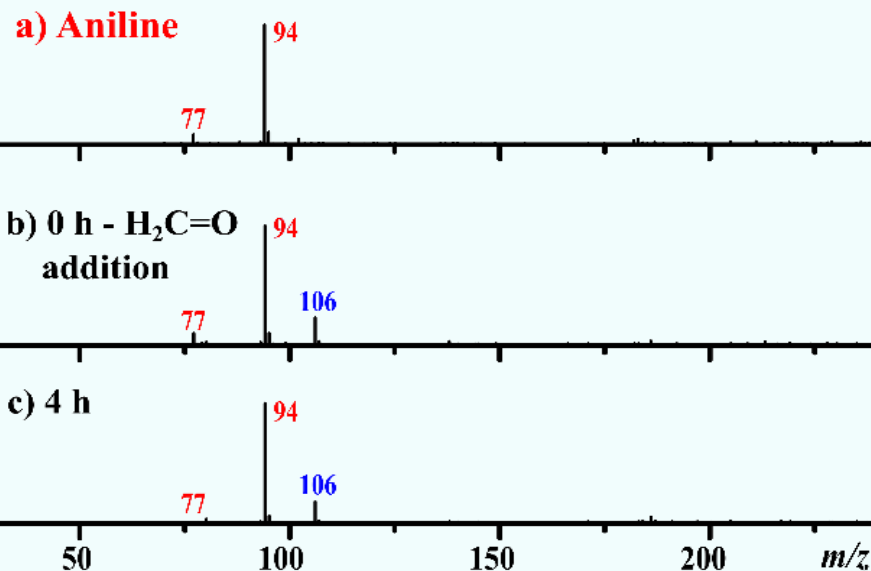


# Estudo de mecanismos de reação

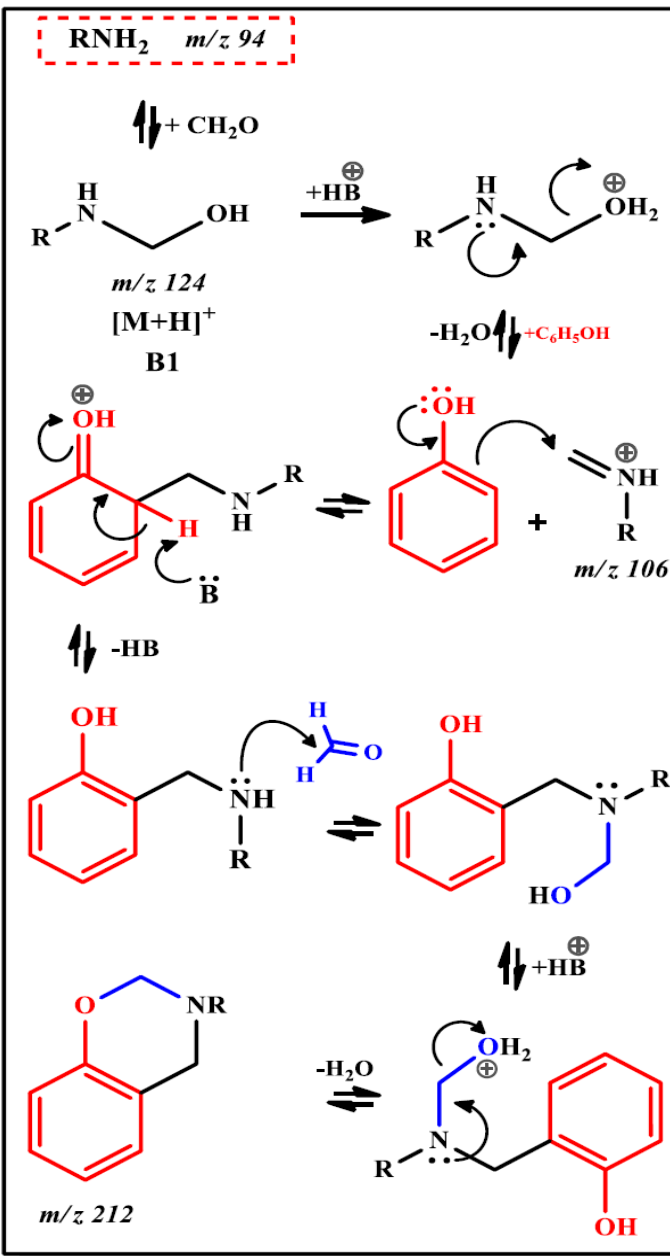
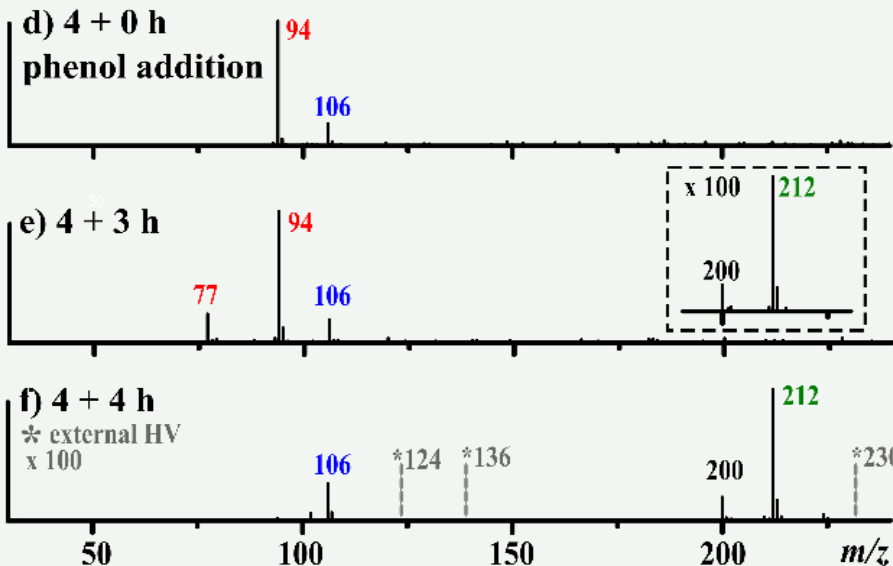


# Estudo de mecanismos de reação

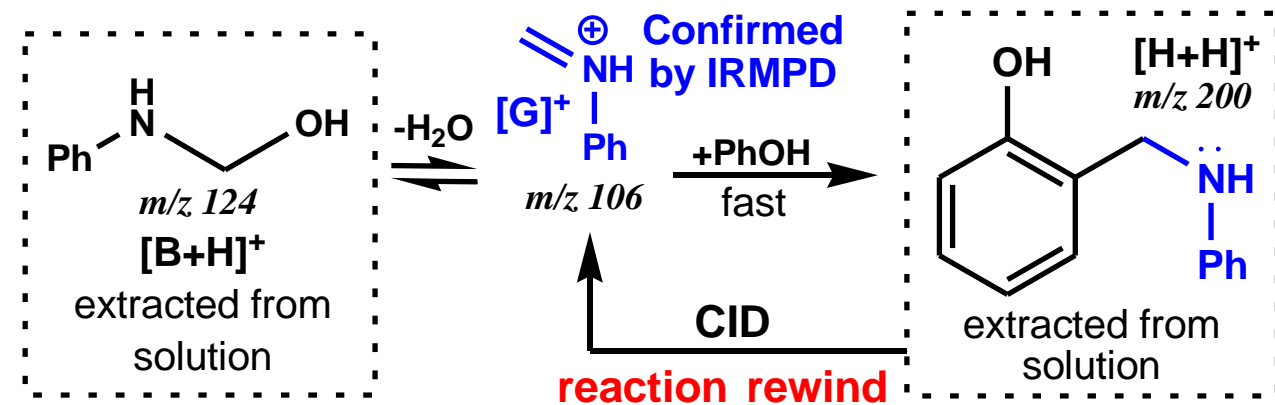
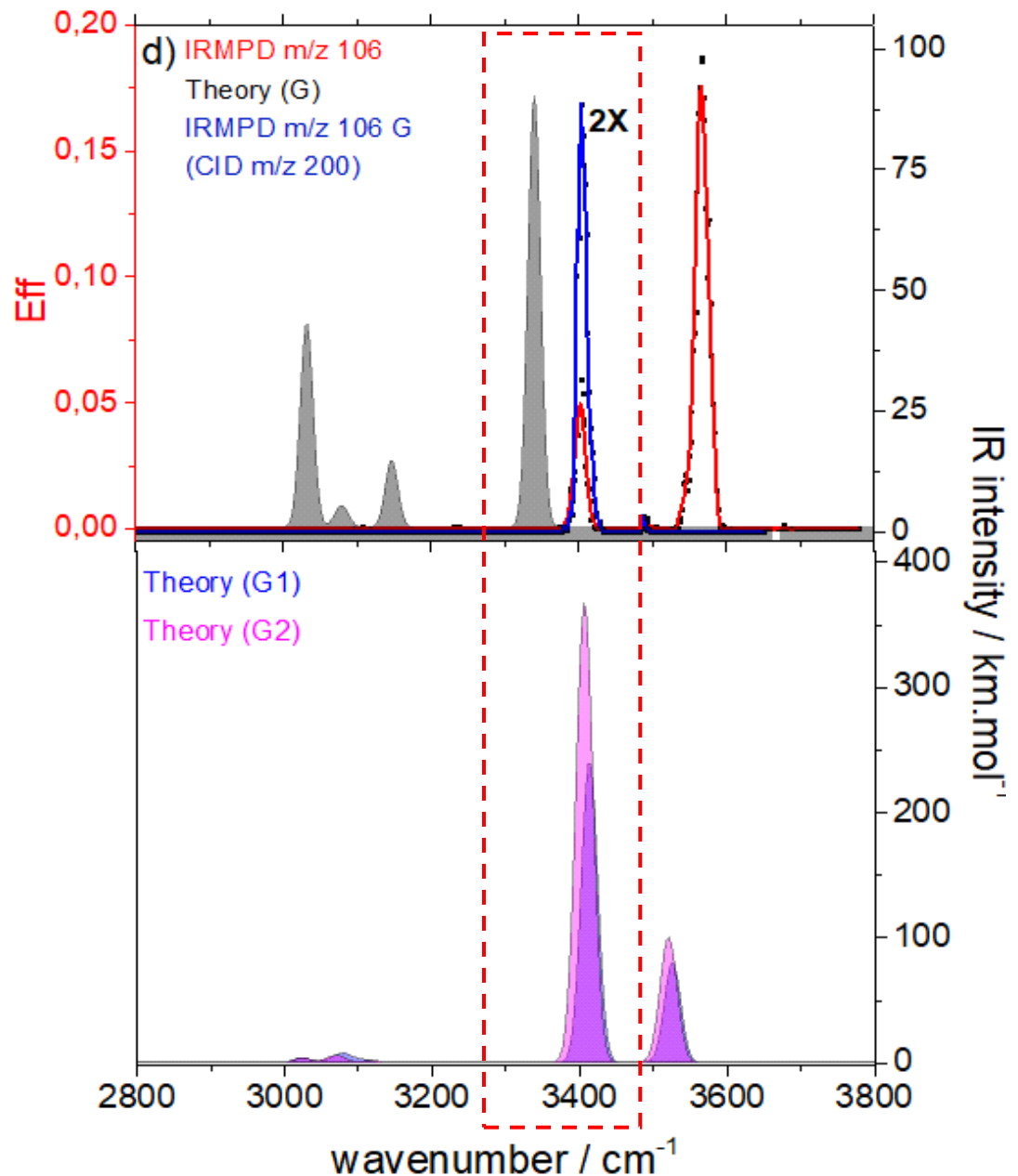
## "Imine" formation



## "Benzoxazine" formation

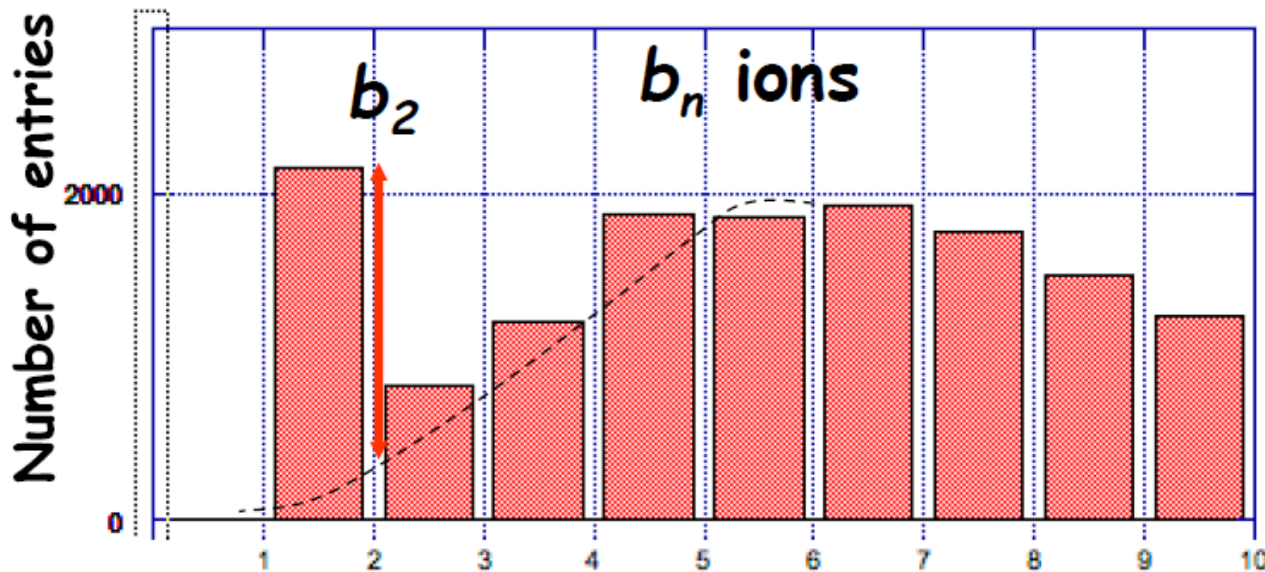


# Síntese de intermediários em fase gasosa



# Fragmentação preferencial de peptídeos

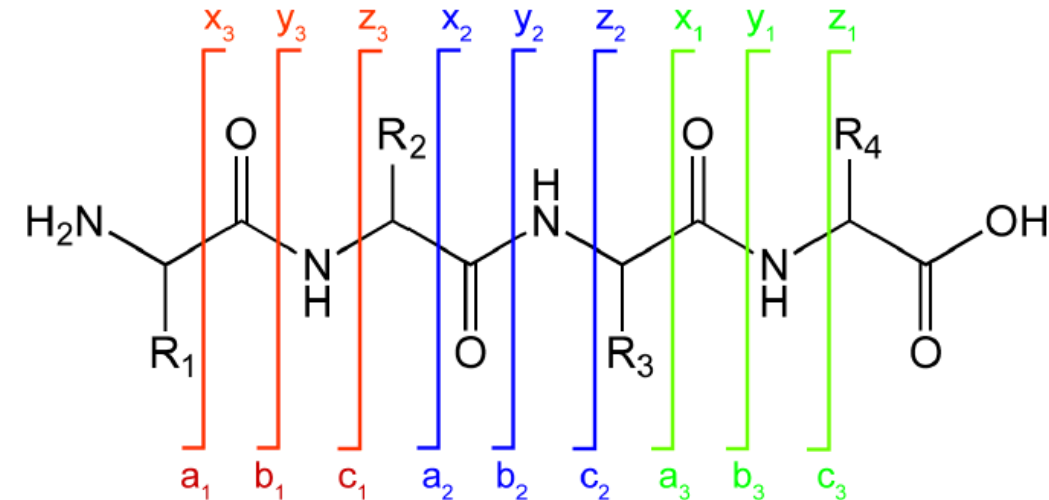
## Statistical Analysis of the SwedCAD Spectral Database



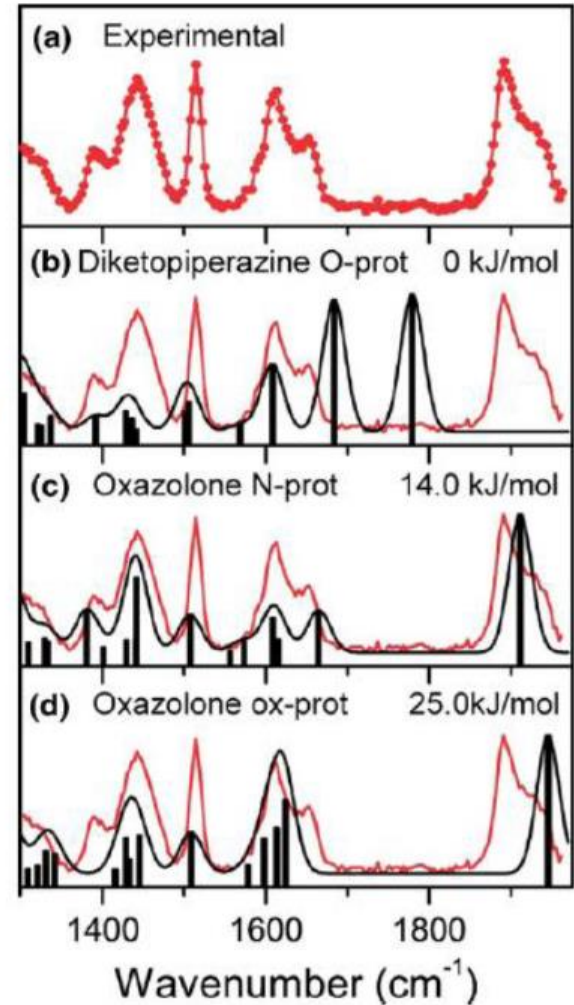
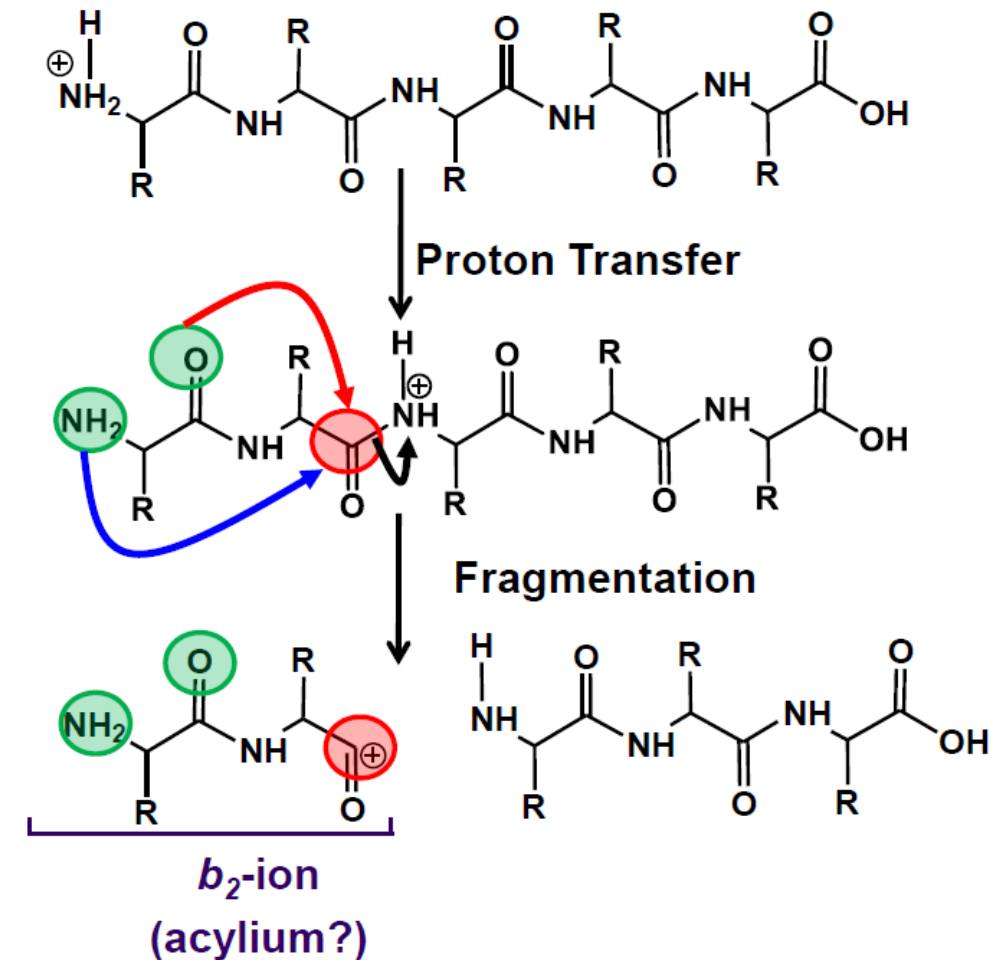
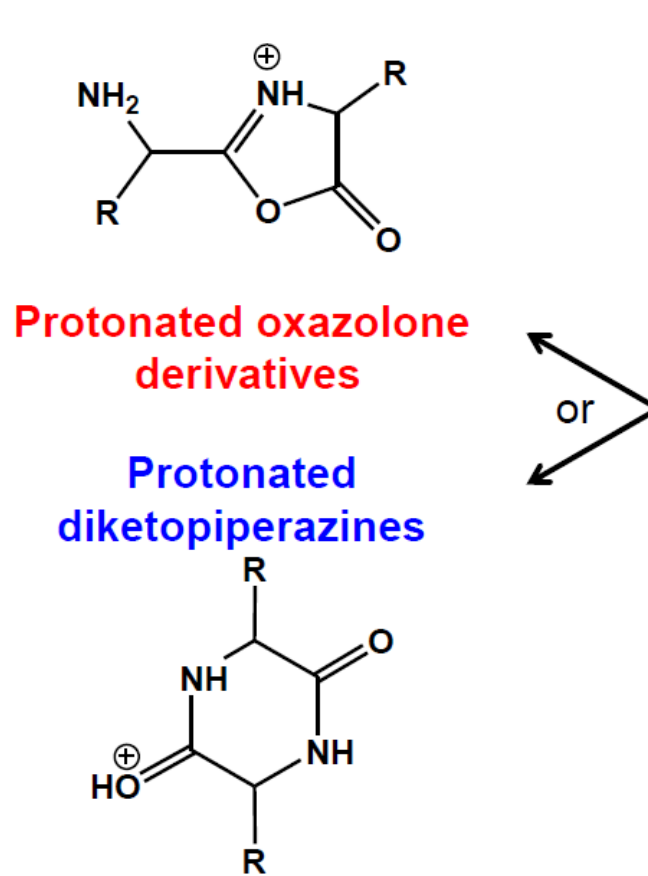
$b_2$  ions are more abundant than other  $b_n$  fragments

Are  $b_2$  ions of tryptic peptides really oxazolones?  
Or diketopiperazines?

[www.bmms.uu.se/CAD](http://www.bmms.uu.se/CAD)



# Ions $b_2$

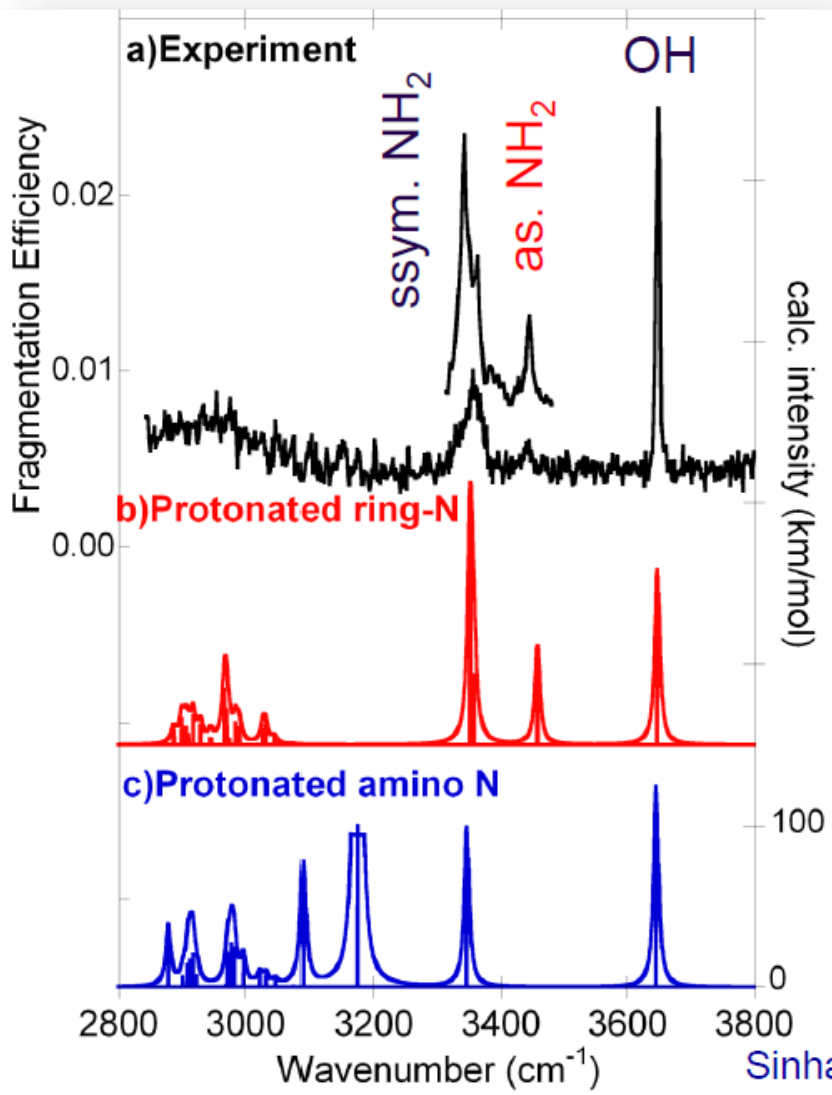


Yalcin, Csizmadia, Peterson, Harrison, J. Am. Soc. Mass Spectrom. 1996, 7, 233  
Cordero, Houser, Wesdemiotis, Anal. Chem. 1993, 65, 1594.

Polfer and coworkers: J Am Soc Mass Spectrom 2010, 21, 1313.

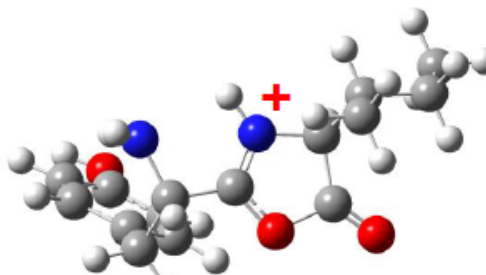
# Diferenciando múltiplas populações com “apenas” um fóton

Fragment  $b_2$  of doubly protonated YIGSR

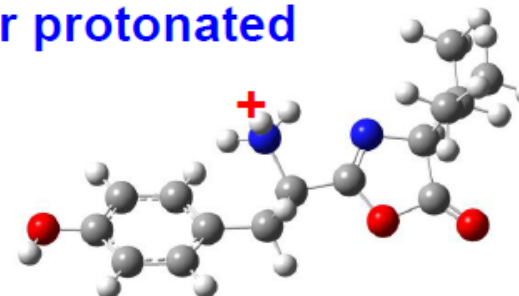


Diagnostic band at 3445 cm<sup>-1</sup>  
Characteristic of the asymmetric NH<sub>2</sub> N-H stretching mode  
Could only be observed using an auxiliary CO<sub>2</sub> laser combined with the OPO/OPA

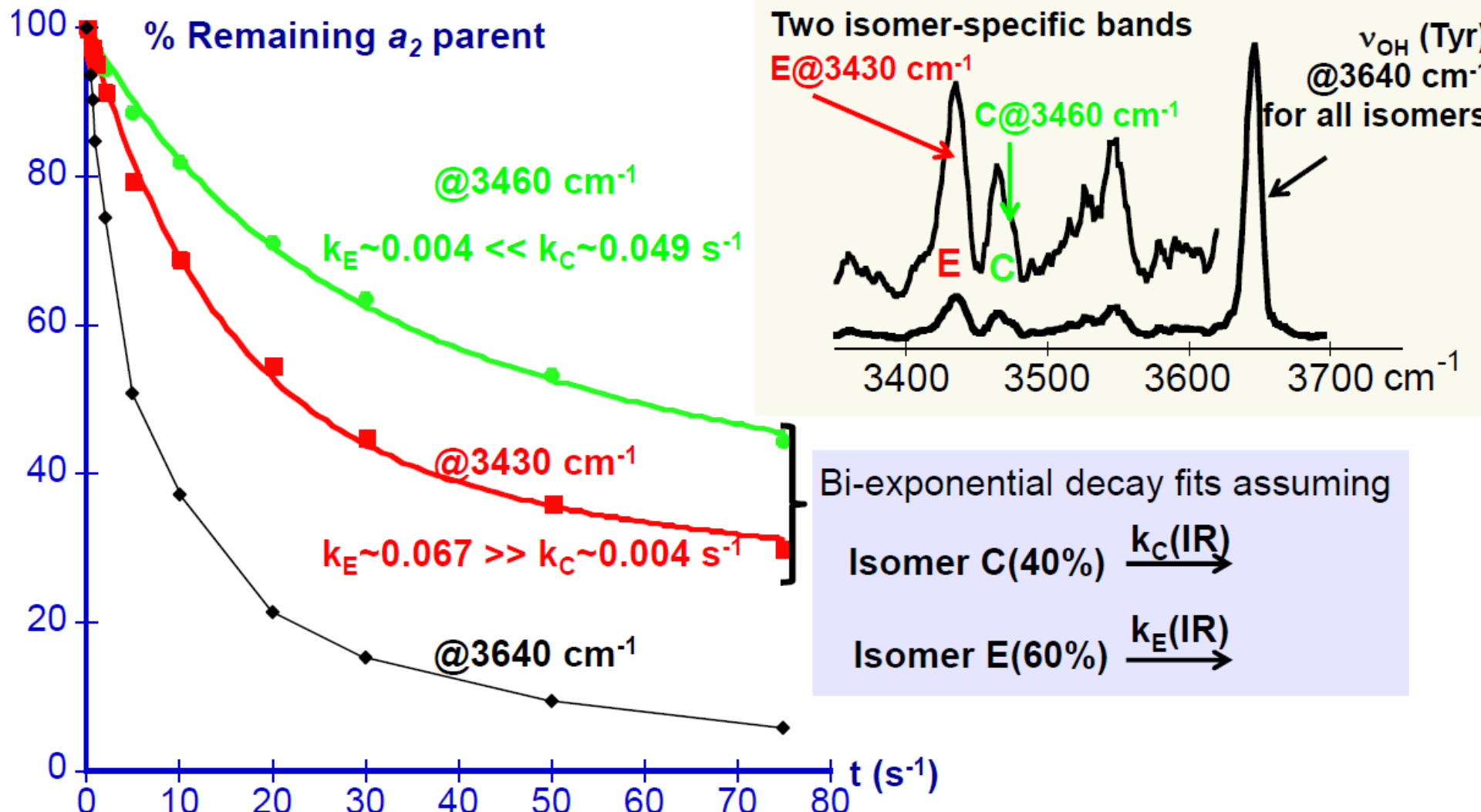
N-ring protonated

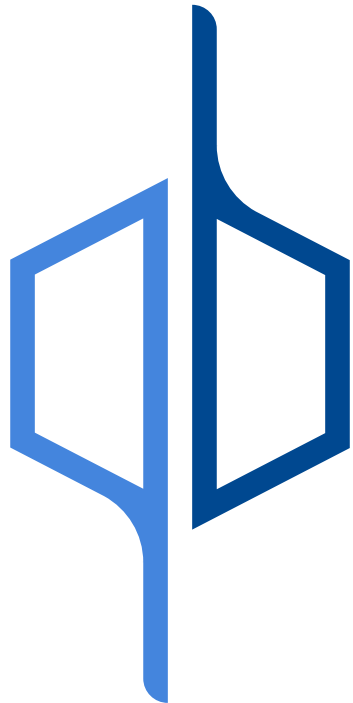


N-ter protonated



# Taxas de dissociação diferentes para íons diferentes





Universidade de São Paulo  
**Instituto de Química**

Prof. Dr. Thiago C. Correra

**Métodos espectroscópicos  
acoplados à MS – Espectroscopia IRMPD**